

Pregledni prispevek/Review article

KONFOKALNA MIKROSKOPIJA ROŽENICE

CONFOCAL MICROSCOPY OF THE CORNEA

Kristina Mikek, Marko Hawlina, Brigita Drnovšek-Olup, Vladimir Pfeifer

Očesna klinika Ljubljana, Klinični center, Zaloška 29 a, 1525 Ljubljana

Prispelo 2003-11-29, sprejeto 2004-03-16; ZDRAV VESTN 2004; 73: 445–50

Ključne besede: konfokalna mikroskopija; potek preiskave; morfološke spremembe v roženici

Izvleček – Izhodišča. Konfokalna mikroskopija (KM) je preiskovalna metoda, s katero pregledujemo morfološko strukturo roženice in vitro in in vivo.

Metode. S konfokalnim mikroskopom (Confoscan 2.0, Nidek, Japonska) opazujemo in analiziramo morfološke spremembe v posameznih plasteh roženice: epitelne, preko strome do endotelne plasti. Opazujemo lahko povzročitelja roženičnega vnetja in se odločamo o načinu zdravljenja ter o vrsti kirurškega posega. Raziskujemo gostoto celic v posameznih plasteh roženice: epithelialnih celic, keratocitov v stromi ter endotelnih celic. Z opazovanjem gostote celic v posameznih plasteh roženice ugotavljamo celični odgovor pri poškodbah, vnetjih roženice ali po operacijah sprednjega segmenta očesa.

Zaključki. S KM opazujemo tudi neprozorno roženico, ki nastane zaradi edema epitelne plasti ali strome, česar in vivo pred odkritjem KM ni bilo mogoče.

Uvod

S konfokalnim mikroskopom (KM) *in vivo* v roženici opazujemo celične spremembe velikosti manj kot 1 µm, ki smo jih doslej lahko opazovali le z odvzemom materiala (biopsijo) in s histološkim preparatom. Analiziramo lahko morfološke spremembe v posameznih plasteh roženice ter diagnosticiramo etiologijo vnetja. S to preiskovalno metodo natančno določimo, v kateri plasti se nahaja roženična patologija, analiziramo njeno morfologijo ter tako postavimo natančnejšo diagnozo. Glede na to se odločamo o načinu zdravljenja ter o vrsti kirurškega posega. KM je klinično uporabna tudi pri neprozorni roženici, ki nastane zaradi edema epitelne plasti ali strome, kar pred odkritjem konfokalne mikroskopije z zrcalnim mikroskopom ni bilo mogoče. Konfokalno mikroskopijo odlikuje večja prečna in globinska ločljivost. Ločljivost KM je za približno 40% večja od splošnega konvencionalnega mikroskopa. KM nam omogoča pregled prozornega odseka tkiva ter tridimenzionalno rekonstrukcijo (1).

Priprava preiskovancev

Pred preiskavo roženico ohromimo z anestetičnimi kapljicami Novesine® (Ciba Vision Ophthalmics, Atlanta, GA). Stož-

Key words: confocal microscopy; examination; morphological changes in the cornea

Abstract – Background. Confocal microscopy is a diagnostic method used for examination of the morphological structure of the cornea *in vitro* as well as *in vivo*.

Methods. Using a confocal microscope (Confoscan 2.0, Nidek, Japan), we can determine and analyze morphological changes in individual layers of the cornea, from epithelial to stromal and endothelial ones in addition, it is possible to observe keratitis causing agents. According to the findings revealed, we choose a treatment method and a surgical procedure type. The investigation is aimed to determine a cellular density in different layers of the cornea, i. e., that of epithelial cells, stromal keratocytes and endothelial cells. Monitoring cellular density by layers helps us understand the cell response after corneal damage or surgery of the anterior segment of the eye.

Conclusions. The method is clinically applicable also in an opaque cornea occurring as a result of epithelial or stromal edema. Such investigations were not feasible before the introduction of the confocal microscopy.

čast nastavek konfokalnega mikroskopa očistimo pred in po preiskavi s 70-odstotnim izopropilnim alkoholom. Na konico nastavka namestimo kapljico imerzijskega gela 2,5% hidroksipropil metilceluloze (Ciba Vision Ophthalmics, Atlanta, GA), ki prepreči neposreden stik objektiva z roženico (Sl. 1). Pri preiskavi moramo paziti, da mehansko ne poškodujemo površine roženice. Preiskovancu vedno pregledamo roženico z biomikroskopom pred in po preiskavi s KM (1).

Potek preiskave s konfokalnim mikroskopom (ConfoScan 2.0, NIDEK, Japonska)

Konfokalni mikroskop, ki ga uporabljamo na Očesni kliniki v Ljubljani, je opremljen s halogensko žarnico 100 W/12 V kot izvorom svetlobe. Pri klinično normalni roženici izvor halogenske svetlobe namestimo na maksimalno vrednost in s tem zagotovimo zadostno količino odbite svetlobe iz posameznih struktur roženice. Drugače pa je v patološko spremenjeni roženici z brazgotinami. V tem primeru jakost svetlobe zmanjšamo na približno polovico (1). Zaradi premikanja očesa je pomembna lega gibljivega stožčastega nastavka, v katerem je objektiv (2, 3). Med preiskavo se objektiv preko imerzijskega



Sl. 1. *Princip preiskave s konfokalnim mikroskopom: stožčast nastavek konfokalnega mikroskopa se preko imerzijskega gelja dotakne površine roženice v pravokotni smeri in se približuje in oddaljuje, kot je prikazano na sliki. Pri tem konfokalni mikroskop presvetli plasti roženice.*

Figure 1. *Mechanism of action of the confocal microscope: the tip at the end of the microscope approaches the cornea surface through an immersion gel and scans all its layers.*

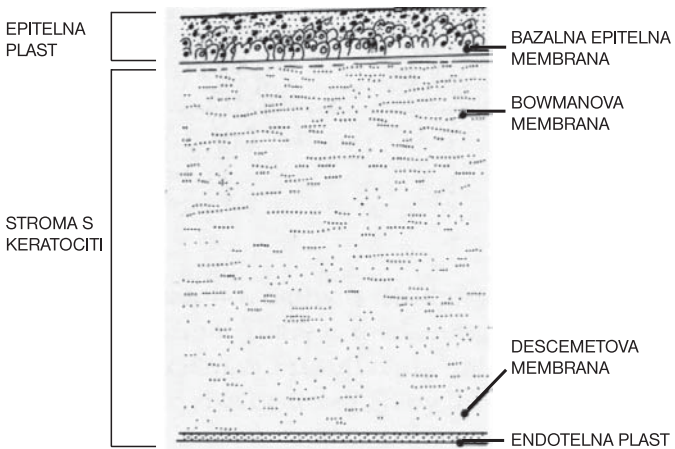
gela pravokotno dotakne zunanje površine roženice, medtem ko preiskovanec gleda naravnost izvor svetlobe (Sl. 1) (1, 4). Za pregled roženice s KM uporabljamo objektive z različnimi povečavami in velikostmi odprtine zaslonke objektiva: od 25-krat/0,65, 40-krat/0,75 ali 50-krat/1,0 (1, 5). Volumenski odsek tkiva, ki ga želimo pregledati, je odvisen od izbrane velikosti odprtine zaslonke objektiva in povečave leče. Boljšo globinsko ločljivost dosežemo z večjo odprtino zaslonke objektiva in večjo lečno povečavo. Pri našem KM uporabljamo objektiv s 40-kratno povečavo in odprtino zaslonke objektiva 0,75, kar prikazujemo na sliki 1. Tako dosežemo prečno ločljivost 1 µm, debelina (globinska ločljivost) preiskovanega področja pa je 10 µm. Nastavljeni parametri dovoljujejo delovno razdaljo približno 1,92 mm (1, 5–10). Slike posname digitalna video kamera med potekom preiskave in jih shrani na trdem disku računalnika. Slabe posnetke računalnik avtomatično izloči (1).

S KM posnete slike analiziramo z računalniškim programom. Posnete slike prikažemo na tri načine:

- morfologija roženice – ugotavljamo kakovost posameznih normalnih in patoloških značilnosti v roženici tako, da jih primerjamo s posnetki že objavljenih podatkov v atlasu roženice, narejenim s konfokalnim mikroskopom;
- morfometrična preiskava – obsegata kvantitativno vrednote in posamezne strukture v roženici od velikosti bazalnih epitelijskih in endotelijskih celic, strukture živčnega nitja, gostote in površine jeder keratocitov v različnih plasteh ter ugotavljanje števila presnovnih depozitov v stromi roženice;
- tridimenzionalna in kinetična rekonstrukcija posnetkov posameznih plasti roženice (1).

Anatomija in histologija roženice – pri pregledu s konfokalnim mikroskopom

Normalna roženica je avaskularna. S kisikom se oskrbuje preko sprednje površine roženice, dodatne hranljive sestavine pa se prenašajo preko zadnje endotelne plasti roženice iz prekatne vode. Roženica je ovalne oblike. Horizontalni premer je 12,6 mm, vertikalna krivina je dolžine 11,7 mm. Centralna optična krivina roženice je premera 7,8 mm. Roženica ima

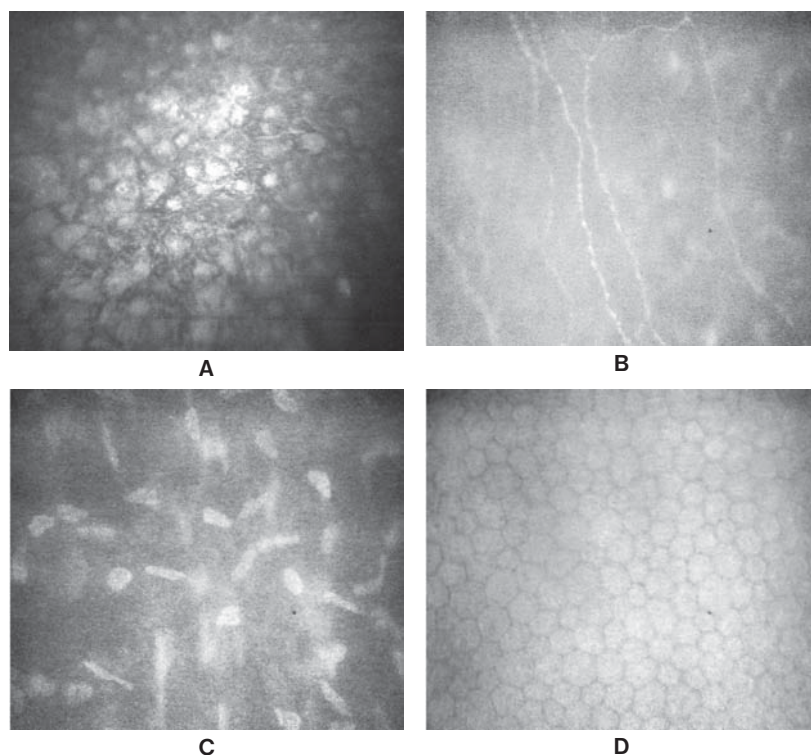


Sl. 2. *Shematsko-prečni odsek roženice (13).*

Figure 2. *Schematic transverse section of the cornea (13).*

+48,0 dioptrij in je del refrakcijskega sistema očesa (11). Zadnja krivina roženice je bolj sferična kot sprednja krivina. Zato je roženica na sredini tanjša (520 µm) kot na periferiji (650 µm ali več) (11, 12).

Roženico sestavljajo naslednje plasti (Sl. 2): epitel, Bowmannova membrana, stroma, Descemetova membrana in endotelna plast. Z zunanje strani varuje roženico solzni film, notranjost pa omejuje prekatna voda sprednjega prekata (11). S KM s spremenjanjem objektiva v aksialni smeri (z koordinata) posnamemo vzporedne, tangencialne odseke roženice (1, 10). *Epitel roženice* je debel 50 µm. Epitel sestavljajo površinske epitelijске celice, katerim sledijo tri plasti prehodnih (angl. wing cells) celic. Prehodne celice se preoblikujejo iz zadajne, bazalne plasti epitelijskih celic, kjer potekajo mitotične delitve. Epitelna plast se obnavlja enkrat tedensko (11). *Površinske epitelne celice* so kronološko najstarejše in so najbolj diferencirane (11). S KM vidimo, da so različnih oblik (dolžine 40 do 50 µm in debeline 4 µm), z visoko ali nizko odbojnostjo (Sl. 3A). *Prehodne ali »wing« celice* težko razlikujemo, še posebej njihove sprednje plasti, notranje plasti pa spoznamo po odbojnosti celičnih mej. *Bazalne epitelne celice* se lahko lateralno premikajo in proliferirajo. V procesu obnavljanja epitela se bazalne epitelijске celice odcepijo od bazalne lame in potujejo proti površini. Preoblikujejo se v prehodne celice ter nato v superficialne epitelijске celice, ki na površini roženice razpadajo v procesu deskvamacije. Bazalne epitelijске celice so manjše, kroglaste (visoke 20 µm in premera 10 µm). Urejene so v spoznavni strukturi satovja in so pritrjene na Bowmannovo membrano (bazalna lamina) (1). Kinetika celične proliferacije, diferenciacije in migracije epitelijskih celic še ni razjasnjena in je še vedno predmet raziskav (14). *Bowmanova membrana* je basalna lamina, debela 8 do 12 µm, ki jo tvorijo bazalne epitelijске celice s svojimi zunajceličnimi produkti (11). Je neodbojna plast, ki jo spoznamo s KM le po živčnih končičih in mestu, kjer se nahaja. Bazalna membrana meji v sprednjem delu na bazalne epitelijске celice, v zadnjem delu pa na prva jedra keratocitov v stromi (Sl. 3B) (1). *Stroma* predstavlja 90% debeline roženice. Gradijo jo zvezdasto oblikovani keratociti, ki tvorijo s citoplazemskimi podaljški morfološki in funkcionalen sincijs. Keratocit je 3 do 5% prostornine strome. Keratociti so fibroblastom podobne celice, ki sodelujejo pri nastanku, preoblikovanju in razgradnji strome ter imajo zato pomembno vlogo pri celjenju poškodovane roženice. Keratociti uravnavajo velikost kolagenskih vlaken in prerazporeditev proteoglikanov v stromi in tako vplivajo na prozornost roženice. Kolagen, ki sestavlja človeško roženico, je tipa I, nekaj pa je



Sl. 3. Plasti roženice, posnete s konfokalnim mikroskopom: A – površinske epitelne celice, B – Bowmanova membrana z živčnimi vlakni, C – stroma s keratociti in D – endotelna plast.

Figure 3. Individual layers of the cornea recorded using a confocal microscope: A – superficial epithelial cells, B – Bowman layer with nerve fibers, C – stroma with keratocytes and D – endothelium of the cornea.

tudi kolagena tipa III in V. Glavna proteoglikana v stromi sta glikozaminglikana keratan sulfat in hondroitin sulfat v razmerju 3:1 (11, 15). V stromi roženice s KM vidimo le jedra keratocitov kot svetla področja v temnem polju (Sl. 3C). Mestoma vidimo kolagenska vlakna in razvejane živčne končiče, ki imajo visoko odbojnost. Oblika in prostorska razporeditev keratocitov v stromi sta odvisni od mesta v stromi. Prva plast keratocitov, ki je tik za Bowmanovo membrano, ima značilno morfološko strukturo večoglatih jeder, ki jih normalno ne najdemo v drugih plasteh strome. Prvi plasti sledijo keratociti z ovalnimi do kroglastimi jedri in občasnimi zarezami. V zadnjih plasteh strome so jedra keratocitov bolj podolgovata in vrtenasta (1). Opisane tri populacije keratocitov so opazovali v različnih plasteh roženic ljudi in živali (16–18). Descemetova membrana je bazalna lamina, ki jo tvorijo sekrecijski produkti endotelijskih celic. Loči stromo roženice od zadnje enoslojne endotelne plasti (11). S KM jo spoznamo le po njeni lokalizaciji (1). Endotelna plast je sestavljena iz 400.000 celic, ki so 4 do 6 µm debele, heksagonalne oblike, širine približno 20 µm. Endotelijske celice nimajo sposobnosti regeneracije. Izgubi ali poškodbi teh celic sledi le njihovo povečanje in prerazporeditev. Ob rojstvu je gostota endotelijskih celic od 3500 do 4000 celic/mm², nato pa s staranjem upada. Pri odraslem človeku je gostota od 1400 do 2500 celic/mm². Vrzeli v endotelni plasti porušijo endotelno funkcijo. Kopičenju vode v stromi sledi zamotnitev roženice in izguba vidne ostrine (7). S KM lepo prikažemo meje in oblike endotelijskih celic (Sl. 3D). Na posnetkih določimo delež celic različnih površin – pleomorfizem ter delež medceličnih stikov – polimagnetizem. Mestoma vsebujejo endotelijske celice granule po fagocitozi, ki jih vidimo kot hiperodbojne znotrajcelične depozite (1).

Oživčenje roženice

Roženica dobiva senzorna in simpatična vlakna. Senzorična oskrba poteka preko 5. možganskega živca trigeminusa, katerega telo leži v trigeminalnem gangliju. Telesa živcev simpatičnega nitja pa se nahajajo v zgornjem cervikalnem gangliju. V roženici je število senzornih vlaken večje kot število simpatičnih vlaken. Po vstopu živčnega nitja skozi sklero, tik nad optičnim živcem, se živčno nitje razcepí večkrat v suprahoralnem prostoru. Posamezni živčni končiči so razporejeni cirkularno okrog korneoskleralnega limbusa, ki je anatomska prehod med sklero in roženico. Tukaj oživčujejo tudi veznico okrog limbusa in limbalni epitel roženice (11). Po vstopu v roženico v sprednji tretjini strome tvorijo živčni končiči gosto subepitelno mrežje. Živčni končiči predrejo na več mestih Bowmanovo membrano, kjer tvorijo bazalno epitelno živčno mrežje, ki se nadaljuje s prostimi živčnimi končiči na ravni plasti površinskih epitelijskih celic (11, 19).

S KM sledimo razporeditvi živčnih vlaken v posameznih plasteh roženice zaradi njihove visoke odbojnosti (1). Subepitelna živčna mrežja in prestopna mesta živčnih vlaken skozi Bowmanovo membrano so zanesljive orientacijske točke (Sl. 3B). S KM tako najdemo plast ali področje v roženici, ki ga želimo ponovno preiskovati (20). Auran s sodelavci je opisal centripetalno rast živčnih vlaken bazalnega epitelnega mrežja. Živčna vlakna rastejo 10 do 20 µm na dan skupaj s plastojo bazalnih epitelnih celic. Subepitelno mrežje je nepremično (21).

Morfološke spremembe v roženici, povezane s staranjem

Z raziskavami so dokazali, da se povečuje debelina roženice v prečnem preseku s staranjem (12) in da upada število endotelijskih celic (2, 9). Endotelijske celice postajajo večje, ohranajo pravilno heksagonalno obliko, večkrat so prisotni znotrajcelični presnovni depoziti (1, 11).

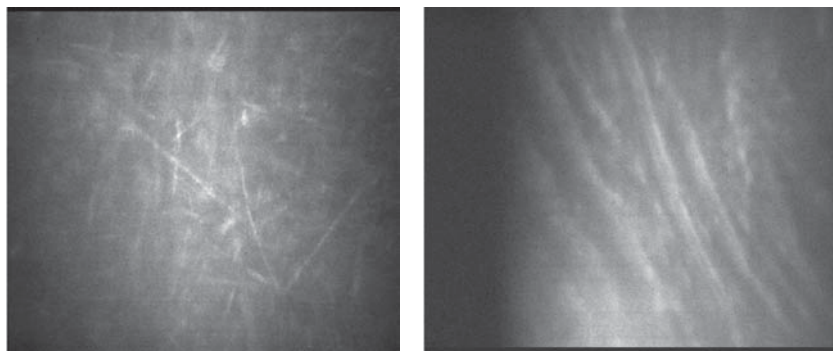
S KM so opazovali slabšo regeneracijo v epitelni plasti roženic starejših. Pri starejših ljudeh so epitelijske celice bolj podolgovate in večje v primerjavi z bazalnimi epitelijskimi celicami mlajših ljudi. Pri starejših ljudeh so v stromi, in sicer v zunajceličnem matriksu, prisotni visoko reflektivni mikro depoziti. Le-ti so ostanki presnovnih aktivnosti keratocitov. Oblika jeder keratocitov se ne spreminja (1). Študiji Moller-Pedersen (22) in Patela (23) sta ugotovili upadanje gostote keratocitov s staranjem. Mustonen (9) je v svoji raziskavi s KM dokazal le upadanje števila endotelnih celic, gostota keratocitov se s staranjem ni spreminja.

Uporaba konfokalne mikroskopije

Pomen preiskovalne metode s KM je v tem, da natančno določimo obseg obolelega področja v roženici in spremljamo klinični potek bolezni. Glede na izvid določimo medikamento zdravljenje (1, 24).

Vnetja roženice

S KM opazimo v posameznih plasteh roženice patološke spremembe, ki jih povzročajo paraziti, bakterije in virusi (10). Tako so opisane spremembe, ki so jih opazovali s KM pri vnetju s herpesom simpleksom (4, 10, 25), vnetju z adenovirusom



Sl. 4. Morfološke spremembe pri keratokonusu, posnete s konfokalnim mikroskopom: levo – začetni keratokonus, desno – napredovala oblika keratokonusa.

Figure 4. Morphological changes in keratoconus patient record using a confocal microscope: left – keratoconus in an early stage, right – keratoconus in an advanced stage.

(1), glivo Aspergillus flavus (26), Fusarium solani, parazitom Acanthamoeba castellanii (28, 29). Dokazali so okužbo z bakterijama Streptococcus viridans in Staphylococcus wernerii (30, 31) ter spiroheto Borrelia burgdorferi, posneto v roženici s KM (32).

Distrofije roženice

Pri *epitelni distrofiji* bazalne membrane (map-dot-finger print distrofiji) s KM v epitelnih plasteh vidimo nepravilno razporeditev epitelnih plasti ter prisotnost posameznih cist bazalnih celic, ki prehajojo v površinsko plast roženice (1, 33, 34). V primerih *granularne*, *Reis-Bückler* in *Lattice distrofije tipa I*, ki zajamejo sprednje plasti roženice, so značilni skupki distrofičnega materiala. Globlje plasti strome in endotelna plast so pri teh distrofijah brez morfoloških sprememb (4, 35). Za *posteriorno polimorfno distrofijo* so značilne patološke spremembe Descemetove membrane (36). Za endotelno *Fuchsovo distrofijo* so značilne spremembe gutata, ki so posledica izločkov bolezensko spremenjenih endotelijskih celic. Te spremembe opazimo tudi pri normalnem procesu staranja, izražite je so izražene na obrobju roženice (11). S KM vidimo te spremembe kot hipoodbojna okrogla področja, omejena s pleomorfnimi oblikovanimi endotelijskimi celicami različnih velikosti (37, 38).

Keratokonus

Keratokonus je nevnetna ektazija roženice s patološkimi spremembami v stromi roženice. Z biomikroskopom vidimo značilno stanjanje roženice v centralnem delu in prečne strije v globljih plasteh strome (11). S KM vidimo v napredovaljem stadiju bolezni vzporedno potekajoče linije (strije) v stromi roženice, kot prikazujemo na sliki 4.

Degeneracije roženice

Degenerativne spremembe so posledica dolgotrajnega kročnega vnetja in dolgotrajnega delovanja toksinov na roženico. V roženici vidimo komaj opazne morfološke spremembe, ki ne vplivajo na ostrino vida. S KM so videli epitelne vključke (depozite) v roženici po zdravljenju s Cordaronom pri srčnih aritmijah. Pri pasasti keratopatiji vidimo subepitelne depozite kalcijevega fosfata na ravni Bowmanove membrane. Degenerativne spremembe v stromi opazimo kot podaljske keratocitov, ki jih ni v zdravi roženici. Značilna je večja odbojnosc fibroznega tkiva z odbojnimi zrni lipofusceina (1).

Kirurški posegi v roženici

S KM lahko primerjamo morfološke spremembe roženice pred in po kirurškem posegu. S presaditvijo roženice nadomestimo motno roženico bolnika z roženico umrlega dajalca. Pregled s KM pogojuje tehniko operacije. S KM vrednotimo, v kateri plasti je patologija, in se odločamo za penetrantno keratoplastiko, kjer zamenjamo celotno debelino roženice, ali pa za lamelno keratoplastiko, kjer prejemniku presadimo le povrhnje plasti roženice. Po operaciji s KM opazujemo vraščanje tkiva. Tako lahko čim prej odkrijemo zgodnje in pozne pooperativne zaplete, ki z navadnim mikroskopom še niso vidni (1).

V refraktivni kirurgiji spremenimo obliko roženice in s tem refrakcijo očesa z laserjem excimer. Tako popravimo dalekovidnost, kratkovidnost ali astigmatizem. Gre za poseg v zdravo roženico. V svetu poteka veliko raziskav, ki s KM proučujejo posledice tovrstnih operacij

in jih primerjajo med seboj. Ocenjujemo spremembe v epitelni plasti roženice, opazujemo reakcijo keratocitov in okolnega stromalnega tkiva ter ponovno vraščanje živčnih končev (1, 4, 8, 10, 39–44). Na ta način bo mogoče kvalitativno oceniti, katera tehnika refraktivnih operacij z laserjem excimer je za roženico najmanj škodljiva (1).

Merjenje gostote celic

S KM merimo gostoto celic v posameznih plasteh roženice in jih analiziramo. Gostota celic od povrhnje epitelne preko keratocitov v stromi do notranje endotelne plasti so raziskovali pri ljudeh (8, 9, 18, 23) in pri poizkusnih živalih (17, 45). Pred uvedbo KM so lahko z zrcalnim mikroskopom kvantitativno analizirali le epitelno in endotelno plast roženice (6, 46, 47). Gostota bazalnih epitelijskih celic in superficialnih epitelijskih celic se s starostjo ne spreminja (9). V stromi roženice je gostota keratocitov največja v sprednjih plasteh. Nato gostota keratocitov upada proti zadajšnjim plastem roženice in se nekoliko poveča tik pred Descemetovo membrano (17, 18). Poleg že dokazanega upadanja števila endotelijskih celic s staranjem so nekatere raziskave dokazale tudi sorazmerno upadanje gostote keratocitov (22, 23). Meritve gostote keratocitov s KM in s histološkim preparatom so primerljive, kar potrjuje primernost konfokalne mikroskopije (23, 45). Gostota keratocitov so merili pri zdravih ljudeh (9, 18, 22, 23, 48), v bolezensko spremenjeni roženici, in sicer keratokonusu (49), ter pri ljudeh po operacijah v roženici (8, 39, 50–54).

Frueh je primerjal gostoto keratocitov pred in po fotorefraktivni keratektomiji (PRK) z laserjem excimer. V prvem in četrtem mesecu po operaciji je ugotovil statistično pomembno povečanje števila keratocitov v sprednji plasti strome roženice. Kasneje se je gostota keratocitov zmanjšala na normalno (8). Ne vemo, kaj je vzrok za spremembo gostote keratocitov po operaciji z laserjem excimer: razpad celic (55), celična delitev (56) ali celično premikanje (»migracija«) (40, 41). Takoj po operaciji z laserjem excimer so jedra keratocitov dvakrat večja in taka ostanejo tudi še eno leto po operaciji (39). Povišanje gostote keratocitov po refraktivni operaciji sovpada z večjo reflektivnostjo subepitelne brazgotine in kliničnim pojavom prehodne meglice (»haze«) v roženici. Keratociti so lahko odgovorni za ta pojav (57). Gostota keratocitov se poveča le v sprednji plasti strome roženice. V srednjem in zadnjem delu strome roženice se ne spremeni, nespremenjena ostane tudi gostota endotelijskih celic (8).

Pri operaciji presaditve roženice je veliko raziskav, ki so v pooperativnem obdobju dokazale upadanje števila endotelnih

celic (53). V zadnjem času pa se z uporabo konfokalnega mikroskopa lahko *in vivo* raziskuje tudi vloga keratocitov v stroni roženice po operaciji presaditve. V 36 transplantiranih rožnicah, kjer je bila narejena penetrantna keratoplastika, so določali gostoto keratocitov v obdobju 1 meseca do 20 let po operaciji. Prišli so do zanimivih rezultatov: število keratocitov/mm² v centralnem delu je po operaciji ostalo nespremenjeno ($p = 0,68$), medtem ko je število keratocitov pri kontrolni skupini normalnih rožnic upadelo s staranjem ($p < 0,001$). Po drugi strani pa se je gostota celic (keratociti/mm³) v transplantiranih rožnicah v pooperativnem obdobju zmanjšala (53). V isti raziskavi so podrobno sledili 5 transplantiranim rožnicam v zgodnjem pooperativnem obdobju in opisovali »aktivirane keratocite« (53). Te so opazili tudi v transplantiranih rožnicah, kjer je bila prisotna pozna endotelna zavrnitvena reakcija (56). Na Očesni kliniki smo analizirali gostoto keratocitov in površino njihovih jader v rožnicah po penetrantni keratoplastiki. Skupino 20 transplantiranih rožnic (starost rožnice dajalca 4 do 71 let) smo primerjali s starostno primerljivo skupino 24 zdravih rožnic. Upoštevali smo do sedaj objavljene raziskave v zdravih rožnicah ljudi, ki so potrdile upadanje gostote keratocitov s staranjem (22, 23). Obdobje po operaciji je bilo 8 do 77 mesecev. V primerjalni raziskavi smo dokazali, da presaditev rožnice ne vpliva na gostoto keratocitov in površino njihovih jader v centralnem delu presajene rožnice. Pri bolnikih po presaditvi rožnice pa smo dokazali, da starost dajalca ob odvzemu rožnice za presaditev vpliva na povečanje površine jader keratocitov samo v zadnji plasti strome rožnice (50). Še vedno ni natančno pojasnjeno, ali keratociti v transplantirani rožnici nastajajo z delitvijo obstoječih ali pa gre morda za potovanje keratocitov iz periferije (58).

Zaključki

Sklepamo, da je konfokalna mikroskopija zelo uporabna neinvazivna preiskovalna metoda, s katero natančno pregledujemo celične procese v živem tkivu *in situ*. Sprejemljiva je tako s strani preiskovanca kot zdravnika. S KM sledimo patološkim spremembam v tkivu ter uspešnosti medikamentnega in kirurškega zdravljenja. Konfokalna mikroskopija je prispevala k raziskovanju celjenja rožnice po poškodbah in kirurških posegih sprednjega segmenta očesa.

Konfokalno mikroskopijo uporabljamo le v največjih kliničnih centrih. Pri analizirjanju posnetkov rožničnega tkiva še vedno naletimo na nepojasnjene spremembe, pri katerih se lahko vprašamo, kaj je zdravo in kaj je patološko. Pred kratkim so bile opisane patološke spremembe v rožnicah pri različnih redkejših boleznih (59–61). Počasi odkrivamo popolnoma nove in doslej neznane mikroskopske spremembe, ki so morda začetne faze še neznanih bolezni rožnice. Z zelo izpopolnjeno diagnostično preiskavo diagnosticiramo patologijo rožnice v začetnem stadiju bolezni, kjer klinična slika še ni značilna. Razvoj konfokalne mikroskopije obeta, da bomo *in vivo* lahko pregledovali tudi globlje dele očesa.

Literatura

- Böhnke M, Masters BR. Confocal microscopy of the cornea. *Retinal and eye research* 1999; 18: 553–628.
- Laing RA, Sandstrom MM, Leibowitz HM. *In vivo* photomicrography of the corneal endothelium. *Arch Ophthalmol* 1975; 93: 143–5.
- Koester CJ. Scanning mirror microscope with optical sectioning characteristics: applications in ophthalmology. *Appl Opt* 1980; 19: 1749–57.
- Cavanagh HD, Petroll WM, Alizadeh H et al. Clinical and diagnostic use of *in vivo* confocal microscopy in patients with corneal disease. *Ophthalmology* 1993; 100: 1444–54.
- Wiegand W, Thaer AA, Kroll P, Geyer OC, Garcia AJ. Optical sectioning of the cornea with a new confocal *in vivo* slit-scanning videomicroscope. *Ophthalmology* 1995; 102: 568–75.
- Koester CJ, Auran JD, Rosskothen HD, Florakis GJ, Tackaberry RB. Clinical microscopy of the cornea utilizing optical sectioning and a high-numerical-aperture objective. *J Opt Soc Am A* 1993; 10: 1670–79.
- Masters BR, Thaer AA. Real-time scanning slit confocal microscopy of the *in vivo* human cornea. *Appl Optics* 1994; 33: 695–701.
- Fruh BE, Cadez R, Böhnke M. *In vivo* confocal microscopy after photorefractive keratectomy in humans. *Arch Ophthalmol* 1998; 116: 1425–31.
- Mustonen RK, McDonald MB, Srivannaboon S et al. Normal human corneal cell populations evaluated by *in vivo* scanning slit confocal microscopy. *Cornea* 1998; 17: 485–92.
- Cavanagh H, El-Agha MS, Petroll WM, Jester JV. Specular microscopy, confocal microscopy and ultrasound biomicroscopy. *Cornea* 2000; 19: 712–22.
- Klyce SD, Beuerman RW. Structure and function of the cornea. In: Kaufman HE, Barron BA, McDonald MB eds. *The cornea*. 2nd ed. Boston: Butterworth-Heinemann, 1998: 3–50.
- Hitzemberger CK, Drexler W, Fercher AF. Measurement of corneal thickness by laser Doppler interferometry. *Invest Ophthalmol Vis Sci* 1992; 33: 98–103.
- Green WT, Muir MGK. The cornea. In: Spalton DJ, Hitchings RA, Hunter PA eds. *Atlas of clinical ophthalmology* 2nd ed. Mosby, 1994: 6: 2–30.
- Beebe DC, Masters BR. Cell lineage and the differentiation of corneal epithelial cells. *Invest Ophthalmol Vis Sci* 1996; 37: 1815–25.
- Müller LJ, Pels L, Vrensen FJM. Novel aspects of the ultrastructural organization of human corneal keratocytes. *Invest Ophthalmol Vis Sci* 1995; 36: 2557–67.
- Poole CA, Brookes NH, Clover GM. Keratocyte networks visualised in the living cornea using vital dyes. *J Cell Sci* 1993; 106: 685–91.
- Petroll WM, Boettcher K, Barry P, Cavanagh HD, Jester JV. Quantitative assessment of anteroposterior keratocyte density in the normal rabbit cornea. *Cornea* 1995; 14: 3–9.
- Hahnel C, Somodi S, Weiss DG, Guthoff RF. The keratocyte network of human cornea: a three-dimensional study using confocal laser scanning fluorescence microscopy. *Cornea* 2000; 19: 185–93.
- Müller LJ, Pels L, Vrensen FJM et al. Architecture of human corneal nerves. *Invest Ophthalmol Vis Sci* 1997; 38: 985–94.
- Masters BR, Thaer AA. Real-time confocal microscopy of *in vivo* human corneal nerves. *Bioimages* 1996; 4: 129–34.
- Auran JD, Koester CJ, Kleiman NJ et al. Scanning slit confocal microscopic observation of cell morphology and movement within the normal human anterior cornea. *Ophthalmology* 1995; 102: 33–41.
- Moller-Pedersen T. A comparative study of human corneal keratocyte and endothelial cell density during aging. *Cornea* 1997; 16: 333–8.
- Patel SV, McLaren JW, Hodge DO, Bourne WM. Normal human keratocyte density and corneal thickness measurement by using confocal microscopy *in vivo*. *Invest Ophthalmol Vis Sci* 2001; 42: 333–9.
- Beuerman RW. Confocal microscopy: Into the clinic. *Cornea* 1995; 14: 1–2.
- Lemp MA, Mathers WD, Gold JB. Surface cell morphology of the anesthetic human cornea: a color specular microscopic study. *Acta Ophthalmol Suppl* 1989; 192: 102–7.
- Winchester K, Mathers WD, Sutphin JE. Diagnosis of *Aspergillus* keratitis in *in vivo* with confocal microscopy. *Cornea* 1997; 16: 27–31.
- Florakis GJ, Moazami G, Schubert H, Koester CJ, Auran JD. Scanning slit confocal microscopy of fungal keratitis. *Arch Ophthalmol* 1997; 115: 1461–63.
- Auran JD, Starr MB, Koester CJ, LaBombardi VJ. *In vivo* scanning slit confocal microscopy of *Acanthamoeba* keratitis. *Cornea* 1994; 13: 183–5.
- Winchester K, Mathers WD, Sutphin JE, Daley TE. Diagnosis of *Acanthamoeba* keratitis *in vivo* with confocal microscopy. *Cornea* 1995; 14: 10–17.
- Chew SJ, Beuerman RW, Assouline M et al. Early diagnosis of infectious keratitis with *in vivo* real-time confocal microscopy. *CLAO J* 1992; 18: 197–201.
- Kaufman SC, Laird JA, Cooper R et al. Diagnosis of bacterial contact lens related keratitis with the white-light confocal microscope. *CLAO J* 1996; 22: 274–7.
- Linna T, Mikkila H, Karma A et al. *In vivo* confocal microscopy: a new possibility to confirm the diagnosis of *Borrelia* keratitis? *Cornea* 1996; 15: 639–42.
- Sherif ZAR, Pleyer U, Rieck P, Hartmann C. Confocal microscopy in corneal dystrophies. *Klin Monatsbl Augenheilkd* 1999; 214: 12–21.
- Rosenberg ME, Tervo TMT, Petroll WM, Vesaluoma MH. *In vivo* confocal microscopy of patients with corneal recurrent erosion syndrome or epithelial basement membrane dystrophy. *Ophthalmology* 2000; 107: 565–73.
- Werner LP, Werner L, Dighiero P, Legeais JM, Renard G. Confocal microscopy in Bowman and stromal corneal dystrophies. *Ophthalmology* 1999; 106: 1697–704.
- Chiou AG, Kaufman SC, Beuerman RW, Maithchouk D, Kaufman HE. Confocal microscopy in posterior polymorphous corneal dystrophy. *Ophthalmologica* 1999; 213: 211–3.
- Mustonen RK, McDonald MB, Srivannaboon S et al. *In vivo* confocal Fuchs' endothelial dystrophy. *Cornea* 1998; 17: 493–503.
- Chiou AG, Kaufman SC, Beuerman RW et al. Confocal microscopy in cornea guttata and Fuchs' endothelial dystrophy. *Br J Ophthalmol* 1999; 83: 185–9.
- Corbett MC, Prydal JI, Verma S et al. An *in vivo* investigation of the structures responsible for corneal haze after photorefractive keratectomy and their effect on visual function. *Ophthalmology* 1996; 103: 1366–80.

40. Beuerman R, McDonald M, Shofner R et al. Quantitative histological studies of primate corneas after excimer laser photorefractive keratectomy. *Arch Ophthalmol* 1994; 112: 1103–10.
41. Lohmann C, Garry D, Muir KM et al. Haze in photorefractive keratectomy: its origins and consequences. *Lasers and light in ophthalmology* 1991; 4: 15–34.
42. Linna T, Tervo T. Real-time confocal microscopic observations on human corneal nerves and wound healing after excimer laser photorefractive keratectomy. *Curr Eye Res* 1997; 16: 640–9.
43. Buhren J, Kohnen T. Stromal haze after laser *in situ* keratomileusis: clinical and confocal microscopy findings. *J Cataract Refract Surg* 2003; 29: 1718–26.
44. Lee BH, McLaren JW, Erie JC, Hodge DO, Bourne WM. Reinnervation in the cornea after LASIK. *Invest Ophthalmol Vis Sci* 2002; 43: 3660–4.
45. Patel SV, McLaren JW, Camp JJ, Nelson LR, Bourne WM. Automated quantification of keratocyte density by using confocal microscopy *in vivo*. *Invest Ophthalmol Vis Sci* 1999; 40: 320–6.
46. Fitzke FW, Masters BR, Buckley RJ, Speedwell L. Fourier transform analysis of human corneal endothelial specular photomicrographs. *Exp Eye Res* 1997; 65: 205–14.
47. Doughty MJ, Müller A, Zaman ML. Assessment of the reliability of human corneal endothelial cell-density estimates using a noncontact specular microscope. *Cornea* 2000; 19: 148–58.
48. Berlau J, Becker HH, Stave J, Oriwol C, Guthoff RF. Depth and age-dependent distribution of keratocytes in healthy human corneas: a study using scanning-slit confocal microscopy *in vivo*. *J Cataract Surg* 2002; 28: 611–6.
49. Erie JC, Patel SV, McLaren JW et al. Keratocyte density in keratoconus. A confocal microscopy study. *Am J Ophthalmol* 2002; 134: 689–95.
50. Mikek K, Hawlina M, Pfeifer V. Comparative study of human keratocyte density after corneal grafting by using confocal microscopy *in vivo*. *Klin Monatsbl Augenheilkd* 2003; 220: 830–4.
51. Mitooka K, Ramirez M, Maguire LJ et al. Keratocyte density of central human cornea after laser *in situ* keratomileusis. *Am J Ophthalmol* 2002; 133: 307–14.
52. Perez-Gomez I, Efron N. Change to corneal morphology after refractive surgery (myopic laser *in situ* keratomileusis) as viewed with a confocal microscope. *Optom Vis Sci* 2003; 80: 690–7.
53. Bourne WM. Cellular changes in transplanted human corneas. *Cornea* 2001; 20: 560–9.
54. Luo L, Liu Z, Chen J et al. Confocal microscopy in transplanted human corneas. *Yan Ke Xue Bao* 2003; 19: 201–5.
55. Fantes FE, Hanna KD, Waring GO et al. Wound healing after excimer laser keratomileusis (photorefractive keratectomy) in monkeys. *Arch Ophthalmol* 1990; 108: 665–75.
56. Kratz-Owens KL, Hageman GS, Schanzlin DJ. An *in vivo* technique for monitoring keratocyte migration following lamellar keratoplasty. *J Refract Corneal Surg* 1992; 8: 230–4.
57. Somodi S, Slowik C, Guthoff R. The stromal keratocyte in human and porcine corneas: visualization by conventional and confocal fluorescence microscopy. *Invest Ophthalmol Vis Sci* 1995; 36: Suppl: 299–9.
58. Fini ME. Keratocyte and fibroblast phenotypes in the repairing cornea. *Prog Retinal Eye Res* 1999; 18: 529–51.
59. Watson SL, Hollingsworth J, Tullo AB. Confocal microscopy of Thygeson's superficial punctate keropathy. *Cornea* 2003; 22: 294–99.
60. Kobayashi A, Ohkubo S, Tagawa S, Uchiyama K, Kazuhisa S. In vivo confocal microscopy in the patients with cornea farinata. *Cornea* 2003; 22: 578–81.
61. Lopez JD, Benitez del Castillo JM, Lopez CD, Sanchez G. Confocal microscopy in ocular chrysiasis. *Cornea* 2003; 22: 573–5.